

УДК 539.3

## НЕЛИНЕЙНОЕ ВЗАИМОДЕЙСТВИЕ ПРОДОЛЬНЫХ И ПОПЕРЕЧНЫХ ВОЛН В ГЕТЕРОГЕННОЙ СРЕДЕ

СУРКОВ В. В.

Нелинейные свойства сред со сложной реологией существенно отражаются на закономерностях распространения упругих волн. Так, в естественных материалах возбуждаются механические колебания неоднородных включений, пустот, зерен и т. п., что приводит к нелокальной зависимости давления от плотности [1–3]. При проведении взрывов в таких средах возможно формирование упругого предвестника с осциллирующей структурой, обусловленной неравновесным характером деформаций [3]. Принципиальный интерес представляет учет нелинейности для геофизических исследований [4].

В публикуемой работе изучаются особенности взаимодействий волн на основе релаксационного уравнения состояния гетерогенных сред [3], которое обобщается на случай неколлинеарных волн. Рассматриваются интенсивная продольная волна, процессы генерации продольных гармоник поперечной волной, анализируются возможности параметрического усиления ультразвука за счет нелинейности релаксационных процессов.

1. Усредненный тензор напряжений в гетерогенной среде, учитывающий неравновесный характер деформаций, можно представить в виде суммы [3]:

$$\sigma_{ij} = \sigma_{ij}^e + \sigma_{ij}^d, \quad \sigma_{ij}^d = -(aq^{**} + bq^{*2} + \mu q^*) \delta_{ij}, \quad q = \rho/\rho_0 \quad (1.1)$$

Здесь  $\sigma_{ij}^e$  — равновесная часть тензора напряжений, а  $\sigma_{ij}^d$  — динамическая, зависящая от производных от плотности  $\rho$ , параметры  $a \sim \delta^2$ ,  $b \sim \delta^2$  и  $\mu \sim \eta/\rho_0$  определяются геометрией и концентрацией включений,  $\delta$  — характерный размер неоднородностей, причем  $\delta \ll \lambda$  ( $\lambda$  — длина волны),  $\eta$  — коэффициент сдвиговой вязкости матрицы,  $\rho_0$  — начальная плотность среды. Первые два члена в выражении для  $\sigma_{ij}^d$  учитывают инерцию среды, обусловленную внутренними степенями свободы. Диагональный вид тензора  $\sigma_{ij}^d$  выбран из условий, что объемные деформации включений слабо влияют на девиаторную часть тензора напряжений.

Уравнения движения второго приближения в эйлеровых координатах записываются следующим образом:

$$qu_i^{**} + 2u_k \frac{\partial u_i}{\partial x_k} + u_k^{**} \frac{\partial u_i}{\partial x_k} = c_t^2 \frac{\partial^2 u_i}{\partial x_k} + \\ + (c_t^2 - c_l^2) \frac{\partial^2 u_k}{\partial x_h \partial x_i} - \frac{\partial}{\partial x_i} (aq^{**} + bq^{*2} + \mu q^*) + f_i \quad (1.2)$$

$$q = 1 - I_1 + 2I_2 - 0,5I_1^2$$

где в выражении для  $q$ , представленном через инварианты  $I_1$ ,  $I_2$ , следует учитывать члены, порядок которых не выше второго. Слагаемое  $f_i$  учитывает геометрическую и физическую нелинейность среды и зависит от упругих модулей матрицы второго и третьего ( $A$ ,  $B$ ,  $C$ ) порядков [5],  $c_t$  и  $c_l$  — продольная и поперечная скорости звука, зависящие от состава среды.

Для плоской продольной волны, распространяющейся вдоль оси  $x$ , уравнение (1.2) принимает вид

$$u'' = c_t^2 \frac{\partial^2 u}{\partial x^2} + \frac{\partial}{\partial x} \left[ \frac{\tau}{2} \left( \frac{\partial u}{\partial x} \right)^2 - u'^2 + a \frac{\partial u''}{\partial x} + b \left( \frac{\partial u'}{\partial x} \right)^2 + \mu \frac{\partial u'}{\partial x} \right] \quad (1.3)$$

$$\tau = 3c_t^2 + 2(A+3B+C)/\rho_0$$

Если нелинейные искажения волнового профиля накапливаются медленно, так что в системе координат  $\xi = x - c_t t$ ,  $t' = t$ , движущейся вместе с волной, производную по времени можно считать малой величиной, то уравнение (1.3) приводится к виду

$$\frac{\partial u}{\partial t'} + \frac{(\tau - 2c_t^2)}{4c_t} \left( \frac{\partial u}{\partial \xi} \right)^2 + \frac{ac_t}{2} \frac{\partial^3 u}{\partial \xi^3} - \frac{\mu}{2} \frac{\partial^2 u}{\partial \xi^2} = 0 \quad (1.4)$$

Здесь учтено, что скорости и смещения в бесконечности обращаются в нуль. В отсутствие дисперсии ( $a=0$ ) уравнение (1.4) подстановкой  $u = 2\mu c_t \ln y / (\tau - 2c_t^2)$  сводится к уравнению теплопроводности для функции  $y(\xi, t')$ . В общем случае удобно перейти в (1.4) от смещения к скорости  $v$ . Тогда при сделанных приближениях получаем, как и в работе [3], уравнение Бюргерса – Кортевега – де Бриза

$$\frac{\partial v}{\partial t'} + \frac{(2c_t^2 - \tau)}{2c_t^2} v \frac{\partial v}{\partial \xi} + \frac{ac_t}{2} \frac{\partial^3 v}{\partial \xi^3} - \frac{\mu}{2} \frac{\partial^2 v}{\partial \xi^2} = 0 \quad (1.5)$$

характер решений которого хорошо изучен [6]. Так, учитывая, что для большинства сред  $2c_t^2 > \tau$  (по данным [4]), находим, что профиль ударного фронта, описываемый стационарными решениями (1.5), имеет колебательную структуру, если  $\mu < [2(2c_t^2 - \tau)av_*]^{1/2}$ , где  $v_*$  – скорость среды за ударным фронтом. Согласно оценкам, наблюдение солитонов в естественных материалах маловероятно ввиду их большой вязкости ( $\eta \sim 10 - 10^4$  Па·с). В средах, где  $2c_t^2 < \tau$ , резкий фронт с осцилляторным характером будет иметь волну разгрузки.

Если диссиляция энергии мала ( $\mu=0$ ), то можно ожидать эффективного взаимодействия продольных и поперечных волн за счет нелинейности динамического члена  $c_{ij}^d$ . С учетом только этого вида нелинейности уравнения второго приближения для волн, распространяющихся в одном направлении, записываются в виде (лагранжиевые координаты):

$$u_x''' = c_t^2 \frac{\partial^2 u_x''}{\partial x^2} + a \frac{\partial^3}{\partial x \partial t^2} \left[ \frac{\partial u_x''}{\partial x} - \left( \frac{\partial u_x'}{\partial x} \right)^2 + \frac{1}{2} \left\{ \left( \frac{\partial u_y'}{\partial x} \right)^2 + \left( \frac{\partial u_z'}{\partial x} \right)^2 \right\} \right] - b \frac{\partial}{\partial x} \left( \frac{\partial u_x''}{\partial x} \right)^2 \quad (1.6)$$

$$u_y''' = c_t^2 \partial^2 u_y' / \partial x^2, \quad u_z''' = c_t^2 \partial^2 u_z' / \partial x^2$$

Если в первом приближении (величины со штрихами) присутствует только поперечная волна, т. е.  $u_x' = u_z' = 0$ ,  $u_y' \neq 0$ , то при граничных условиях [5]  $u_y'(0, t) = u_0(1 - \cos \omega t)$ ,  $u_x''(0, t) = 0$  получаем следующее решение системы (1.6):

$$u_y' = u_0 [1 - \cos(\omega t - k_t x)], \quad k_t = \omega/c_t \quad (1.7)$$

$$u_x'' = \frac{au_0^2 k_t^2 k_t^3}{k_t^2 - k_l^2} \sin[(k_l - k_t)x] \cos[2\omega t - (k_t + k_l)x]$$

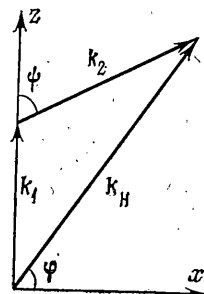
где  $k_l = \omega [c_t^2 - 4a\omega^2]^{-1/2}$  – модуль волнового вектора второй гармоники. В отсутствие синхронизма решение (1.7) описывает пространственные биения, а в случае  $k_l \sim k_t$ , что соответствует частотам  $\sim \omega_* = 1/2 [(c_t^2 - c_l^2)/$

$/a]^{1/2}$ , происходит усиление возникающей продольной волны, причем ее амплитуда при  $\omega=\omega_*$  равна  $u_0^2(c_t^2-c_t^2)^2x/(16c_t^4a) \sim xu_0^2/\delta^2$ , т. е. увеличивается при уменьшении размера неоднородностей. Вообще будут заметны гармоники, фазовые скорости которых близки к скорости возбуждающей волны, при условии, что их частоты не лежат в области резонансной частоты  $\omega_0=c_t/(a)^{1/2}$ , где существенны эффекты поглощения энергии.

Значительным ограничением проведенного анализа может оказаться учет затухания. Максимальное значение  $V$  амплитуды генерируемой волны достигается на расстояниях  $x \sim \kappa^{-1}$  (если  $\kappa \gg (k_t - k_t)$ ), где  $\kappa$  — коэффициент затухания. Используя для  $u_0$  оценку  $u_0^2 \sim E/(\rho c_t \omega_*^2)$  ( $E$  — подаваемая мощность), получим для этих расстояний

$$V \sim u_0 (c_t^2 - c_t^2)^{1/2} [E/(\rho c_t)]^{1/2} / (8c_t^4 \kappa \delta)$$

При значениях параметров:  $E=10^5$  Вт/м<sup>2</sup>,  $c_t=2c_t=2 \cdot 10^3$  м/с,  $\rho=2 \cdot 10^3$  кг/м<sup>3</sup> находим, что  $V/u_0 \sim 1.5 \cdot 10^{-4} (\kappa \delta)^{-1}$ , причем следует учесть, что, вообще говоря,  $\kappa=\kappa(\omega_*/\delta)$ .



2. Особенности взаимодействия неколлинеарных волн рассмотрим на примере параметрического усиления ультразвука. Пусть в среде распространяются две продольные волны: слабая — сигнальная и волна накачки, фазовые скорости которых близки к значению  $c_t$ , входящему в (1.2). При трехчастотном взаимодействии в среде образуется поперечная волна, причем условия фазового синхронизма волн имеют вид [7]:

$$\begin{aligned} \omega_1 + \omega_2 &= \omega_3, \quad k_1 + k_2 = k_3 \\ k_1 &= \omega_1/c_t, \quad k_2 = \omega_2/c_t, \quad k_3 = \omega_3/c_t \end{aligned} \quad (2.1)$$

Волновые вектора сигнала  $k_1$  волны разностной частоты  $k_2$  и накачки  $k_3$  изображены на фигуре, причем поперечная волна поляризована в плоскости  $zx$ . Решение ищем в виде суперпозиции трех волн

$$u_j = Z_j + Z_j^*, \quad Z_j = P_j \exp[i(\omega_j t - k_j z)] + Q_j \exp[i(\omega_j t - k_j r)] + U_j \exp[i(\omega_j t - k_j r)]$$

$$P = P(0, 0, 1), \quad Q = Q(-\cos \varphi, 0, \sin \varphi), \quad U = U(\cos \varphi, 0, \sin \varphi) \quad (2.2)$$

где углы  $\varphi$  и  $\psi$  связаны условием (2.1). Если волны падают на полупространство  $z > 0$ , то комплексные амплитуды  $P_j$ ,  $Q_j$  будем считать медленно меняющимися функциями  $z$ . Учитывая также, что  $|P_j|$ ,  $|Q_j| \ll |U_j|$ , полагаем  $U_j = \text{const}$  [7]. Подстановка (2.2) в (1.2) с учетом нелинейности  $\sigma_{ij}^d$ , обусловленной релаксационными процессами, приводит к системе укороченных уравнений (лагранжевые координаты):

$$\alpha \left[ D \frac{dQ^*}{dz} + i\beta_1 k_1 k_2 \sin 2(\psi - \varphi) \frac{Q^*}{2} \right] + k_1 \left[ \beta_1 k_1 P + 2(\beta_1 - 1) i \frac{dP}{dz} \right] = 0 \quad (2.3)$$

$$ik_2 F dQ/dz + \alpha H [ik_1 k_2 \cos(\varphi + \psi) P^* - L dP^*/dz] = 0$$

$$F = m^2 [\sin \varphi + \cos \psi \sin(\varphi + \psi)] + (1 - \beta_2 m^2) \sin \psi \cos(\varphi + \psi)$$

$$H = \beta_2 m^2 (2 - \cos^2 \varphi) - \gamma_1, \quad L = k_1 \cos \varphi - k_2 \cos(\varphi + \psi)$$

$$D = \gamma_2 k_1 m \sin \psi - \beta_1 [k_1 \{\cos \varphi \sin(\varphi - \psi) + 2 \sin \psi\} + k_2 \sin 2(\psi - \varphi)/2]$$

$$m = c_t/c_t, \quad \alpha = k_3 U, \quad \beta_1 = a k_1^2, \quad \beta_2 = a k_2^2$$

$$\gamma_1 = 2 b k_1 k_3, \quad \gamma_2 = 2 b k_2 k_3, \quad \zeta = k_2/k_1$$

$$\cos \psi = m - 1/2 \zeta (1 - m^2), \quad \sin \varphi = 1 - 1/2 \zeta^2 (1 - m^2)/(1 + m \zeta)$$

Исключая из (2.3)  $Q$ , получаем линейное уравнение

$$d^2P/dz^2 - 2iM dP/dz - NP = 0 \quad (2.4)$$

характер решений которого зависит от параметра  $R=N-M^2$ , где

$$N=4\alpha^2\beta_1k_1^2k_2^2H\sin 2(\varphi-\psi)\cos(\varphi+\psi)/G \quad (2.5)$$

$$M=k_1k_2\{\alpha^2H[2D\cos(\varphi+\psi)+\beta_1L\sin 2(\psi-\varphi)]-2k_1\beta_1F\}/G$$

$$G=4[2k_1k_2F(1-\beta_1)-\alpha^2DHL]$$

Так, для  $R>0$  при граничных условиях  $P(0)=P_0$ ,  $Q(0)=0$  получаем решение, описывающее усиление волны

$$P=P_0 \exp(iMz)[\operatorname{ch}(\sqrt{R}z)+(i\bar{M}/\sqrt{R})\operatorname{sh}(\sqrt{R}z)] \quad (2.6)$$

Проанализируем условия, при которых возможно решение вида (2.6). Параметр  $\alpha \sim U/\lambda_s \ll 1$ , что касается параметров  $\beta_1$ ,  $\beta_2 \sim \delta^2/\lambda^2$ , то они ограничены значением  $\leq 1$ , поскольку для более коротких волн исходное уравнение (1.1) не применимо. В области  $\beta_1 \sim 1$ , как видно из (2.5), параметр  $R < 0$ , т. е. существенна дисперсия. Поэтому указанные условия следует искать, когда преобладает нелинейное слагаемое в  $\sigma_{ij}^d$ , т. е.  $\gamma_1 \sim 1$ ,  $\beta_1 \ll 1$ . Последнее соотношение выполнимо, например, для пористой среды с несжимаемой матрицей [8], где по оценкам  $\beta_1/\gamma_1 \sim a/b \sim n \ll 1$  ( $n$  — коэффициент пористости). В этом случае, раскладывая  $R$  по малым параметрам  $\alpha^2$  и  $\beta_1$ , получаем, что усиление волны возможно в диапазоне  $A_- < \alpha^2/\beta_1 < A_+$ , где

$$A_{\pm} = \frac{-k_1 F}{\gamma_1^3 k_2 m^2 \sin^2 \psi \cos(\varphi+\psi)} \{ \gamma_1 m \sin \psi + \\ + 4 \sin 2(\varphi-\psi) \pm 2\sqrt{2} \sin 2(\varphi-\psi) [\gamma_1 m \sin \psi + 2 \sin 2(\varphi-\psi)] \} \quad (2.7)$$

Это неравенство ввиду положительности  $\alpha^2/\beta_1$  справедливо, если  $F/\cos(\varphi+\psi) < 0$  и  $\sin 2(\varphi-\psi) > 0$ . Условия усиления наиболее благоприятны, если нижний предел  $A_-$  мал. Так, например, при  $m=0,65$  соответствующий подбор параметров (при  $\gamma_1=1$ ) дает оптимальное значение  $\xi=0,49$ , при котором  $A_- \approx 5 \cdot 10^{-4}$ ,  $A_+ \approx 3 \cdot 10^{-2}$ . Для пористой среды с  $n=10^{-4}$  отсюда получаем, необходимые амплитуду  $U \sim 1/\lambda(nA_-)^{1/2}/\pi$  и мощность накачки  $E \sim nA_- \rho c_i^3 \sim 8 \cdot 10^5$  Вт/м<sup>2</sup>. Характерный масштаб, на котором амплитуда увеличивается в  $e$  раз,  $\sim R^{-1/2} \sim \lambda^3/\delta^2$ . Множитель  $\exp(iMz)$  в (2.6) приводит к слабым пространственным колебаниям, так как  $M \sim \beta_1 R^{1/2} \ll R^{1/2}$ .

Таким образом, параметрическое усиление волны возможно, если параметры волн удовлетворяют условию (2.7), а размеры и концентрация включений малы. Проведенный анализ справедлив, если нелинейные члены, связанные с неравновесностью деформаций, много больше гидродинамической и физической нелинейности. Грубая оценка соответствующих членов в (1.2) показывает, что размер неоднородностей ограничен в этом случае снизу условием  $\lambda^2 \gg \delta^2 \gg U\lambda$  ( $\lambda \gg U$ ).

Покажем, что в обратном пределе ( $\delta^2 \ll U\lambda$ ) релаксационные процессы препятствуют усилинию и приводят к пространственным биениям. В этом диапазоне слагаемое  $\sigma_{ij}^d$  мало и в производных от плотности достаточно учесть линейные слагаемые. Рассмотрим по-прежнему продольные волны сигнала и накачки (фигура), связанные условием синхронизма (2.1), в средах, где гидродинамическая нелинейность играет основную роль (слабосвязанные и неплотные вещества, спрессованные порошки и т. п.). Подстановка (2.2) в (1.2) при  $f_i=0$  приводит к системе укороченных уравнений

$$\alpha(k_2 d - k_3 p) \frac{dQ^*}{dz} + i\alpha k_2(k_2 s - k_3 r) Q^* + k_1 \cos \varphi \left[ 2i(1-\beta_1) \frac{dP}{dz} - k_1 \beta_1 P \right] = 0$$

$$k_2 F \frac{dQ^*}{dz} + \alpha^* k_1 (k_1 g - k_3 h) P + i \alpha^* (k_1 l - k_3 h) \frac{dP}{dz} = 0 \quad (2.8)$$

$$g = \sin 2\varphi - \cos \varphi + \gamma_2 \cos(\varphi + \psi), \quad h = \sin \varphi \cos \varphi$$

$$l = \sin 2\varphi + \gamma_2 \cos(\varphi + \psi) - \gamma_1 \cos \varphi, \quad p = \sin \varphi \sin(\varphi + \psi)$$

$$d = m [2 \sin \varphi \sin(\varphi + \psi) + \gamma_1 \cos \varphi \sin \psi], \quad r = \sin^2(\varphi + \psi)$$

$$s = m \sin(\varphi + \psi) [2 \sin(\varphi + \psi) - m]$$

которая сводится к уравнению вида (2.4) с параметрами ( $F$  определено в (2.3)):

$$N = 2\alpha^2 k_1 (k_2 s - k_3 r) (k_1 g - k_3 h) / w, \quad w = 4Fk_2 \cos \varphi (1 - \beta_1)$$

$$M = \frac{1}{w} \left\{ \frac{\alpha}{k_1^2} [(k_2 s - k_3 r) (k_1 l - k_3 h) k_2 - (k_1 g - k_3 h) (k_2 d - k_3 p) k_1] - \beta_1 k_2 F \cos \varphi \right\} \quad (2.9)$$

Из (2.9) видно, что решение типа (2.6) при  $R = N - M^2 > 0$  можно получить, если  $\alpha \gg \beta_1$  или  $(\delta/\lambda_1)^2 \ll U/\lambda_3$ . Аналогичный результат ( $\alpha \gg \beta_2$ ) получается при взаимодействии с накачкой поперечного сигнала, поляризованного в плоскости  $zx$  (при поляризации разностной волны и сигнала вдоль оси  $y$  дисперсионные свойства среды, как следует из (1.2), не отражаются на закономерностях распространения волн). Анализ уравнений (1.2) с учетом другого вида нелинейности ( $f_i \neq 0$ ), связанного с нелинейностью деформаций и закона Гука показывает, что определяющий параметр нелинейности по-прежнему равен  $\alpha = k_3 U$ , в то время как дисперсия характеризуется величинами  $\beta_1$  и  $\beta_2 \sim \delta^2 k^2$ .

Простые оценки ( $k_3 \sim k_1$ ) показывают, что для усиления сигнала в этом случае необходимо выполнение условия  $\delta \ll v_s^{-1} (Ec/\rho)^{1/4}$ . Так, при  $E = 10^5$  Вт/м<sup>2</sup>,  $v_s = 100$  МГц [7] и параметрах среды:  $c = (1-10) \cdot 10^3$  м/с,  $\rho = (1-10) \cdot 10^3$  кг/м<sup>3</sup> получаем, что  $\delta \ll 10^{-7}$  м. Таким образом, диапазон частот, в котором возможно усиление сигнала (при заданной мощности накачки) за счет гидродинамической нелинейности и нелинейности матрицы, ограничен сверху величиной, обратно пропорциональной размеру неоднородностей.

Проведенный анализ показал, что в случае  $\lambda^2 \gg \delta^2 \gg U\lambda$  основную роль играют нелинейные эффекты, обусловленные релаксационным характером установления равновесия среды и включений. При амплитуде накачки  $U \sim \sim^{1/2} \lambda (nA_-)^{1/2} / \pi$  и условии (2.7) возможно параметрическое усиление сигнала. При малых отклонениях от равновесия возмущения скорости нелинейной продольной волны описываются уравнением Бюргерса — Кортевега — де Вриза. Показаны также возможности генерации продольных гармоник при совпадении их фазовых скоростей со скоростью возбуждающей поперечной волны.

#### ЛИТЕРАТУРА

1. Goodman M. A., Cowin S. C. A continuum theory for granular materials. — Arch. Rat. Mech. Analysis, 1972, v. 44, No. 4, p. 249—266.
2. Nunziato J. W., Walsh E. K. Small-amplitude wave behavior in one-dimensional granular solids. — Trans. ASME. Ser. E. J. Appl. Mech., 1977, v. E44, No. 4, p. 559—564.
3. Дунин С. З., Сурков В. В. Нелинейные упругие волны в многокомпонентных средах. — Акуст. ж., 1980, т. 26, № 5, с. 700—707.
4. Садовский М. А., Николаев А. В. Новые методы сейсмической разведки. Перспективы развития. — Вестн. АН СССР, 1982, № 1, с. 57—64.
5. Зарембо Л. К., Красильников В. А. Введение в нелинейную акустику. М.: Наука, 1966. 519 с.
6. Руденко О. В., Солуян С. И. Теоретические основы нелинейной акустики. М.: Наука, 1975. 287 с.
7. Заболотская Е. А., Солуян С. И., Хохлов Р. В. Параметрический усилитель ультразвука. — Акуст. ж., 1966, т. 12, № 2, с. 188—191.
8. Дунин С. З., Сурков В. В. Динамика закрытия пор во фронте ударной волны. — ПММ, 1979, т. 43, вып. 3, с. 511—518.

Москва

Поступила в редакцию  
20.IV.1983